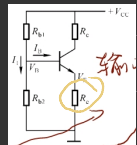


# 器件



$R_F$ : 产生负反馈, 使静态工作点稳定.  $R_F$ 越大, 负反馈作用越强, 稳定性越好.

抑制误差

算工作状态记得验证

# 第三章 半导体三极管基本放大电路

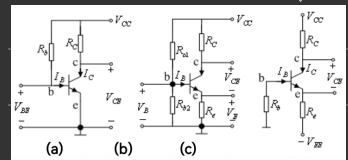
## 1.3.1 放大电路基础

叠加的前题：线性电路 三极管是非线性元件，要使其工作在线性区

耦合电容、旁路电容

交流通路无法独立工作，它的工作原点是直流通路

直流量 大 外交流量 小 暂时量 小 外交流有效值、峰值 大



基极固定偏置 具有工作点稳定 集电极偏置

△不具有保持以 稳定

△负反馈电阻  $R_E$

△ $R_E$ 太大，输出动态

范围变小， $V_{CE}$ 变小

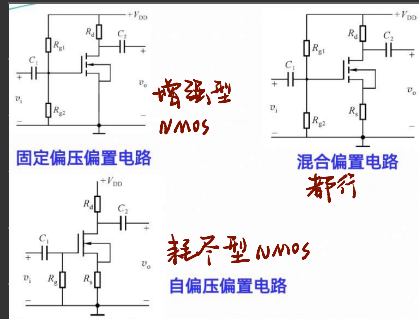
△ $R_{b1}, R_{b2}$ 小， $V_B$ 稳定性

太小会导致直流通

耗大，输入交流信

号的分流作用大，

放大能力差



放大电路：①合适的静态工作点

② 直流电源极性与三极管相配合

③ 电阻设置与电源配合

BJT 输入信号  $b$  or  $e$  输出信号  $c$  or  $e$

FET 输入  $g$  or  $s$  输出  $d$  or  $s$

三种耦合 ① 耦合电容 优：电路简单，为主元件电路

信号和直流通路 缺：低频响应差，不利于集成化

② 直接耦合 优：低频特性好，易于集成化

(FET无栅极电流) 缺：各级静态工作点相互影响，难以分析、设计、调试

零点漂移

③ 变压器耦合 优：静态工作点互不影响，实现阻抗变换

缺：频率特性不好，笨重

放大电路是否合理：① 静态工作点好不好，会不会偏高（如  $R_S$ ，加个电容）

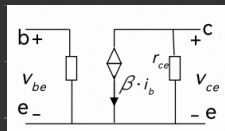
② 电源极性与三极管、场效应管配合吗

③ 输入回路的偏置 ( $b$ ,  $e$  之间正偏能否做到)

④  $c$ ,  $e$  间有没有短（无电阻或有旁路电容）

⑤ 场效应对应的偏置是否合适（J型不用固定偏置）

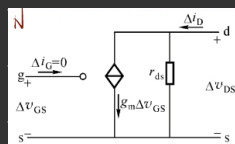
直流输入信号应看作是相对于零的变化，切勿与静态值相混淆



① 低频小信号 ② 变化的量 or 交流分量

③  $\Delta i_B$  方向由  $\Delta v_B$  决定 ④  $r_{be} = r_{bb} + (1 + \beta) \frac{V_t}{I_{EB}}$

⑤ 不抽器件



① 栅极电流为零 ② 变控电源方向对 6 种 FET 都适用

### 1.3.2 放大电路的基本性能指标

$$\text{电压增益 } A_v = \frac{V_o}{V_i} = A_{v0} \frac{R_L}{R_o + R_L} \quad \text{源电压增益 } A_{vs} = \frac{V_o}{V_S}$$

$$A_P(\text{dB}) = 10 \log(P_o/P_i) \quad A_V(\text{dB}) = 20 \log(V_o/V_i)$$

$$\text{输入电阻 } R_i = \frac{V_i}{I_i} \quad R_i \text{ 越大越好}$$

输出电阻  $R_o$  真负载开路时从输出端看进去的等效电阻  $R_o$  越小，带载能力越强，该过程压降  $= \frac{V_o}{I_o} \Big|_{\substack{V_S=0 \\ R_L=\infty}} \quad \text{加压减流}$

通频带 结电容、极间电容影响 通频带越宽，表明放大电路对不同频率信号适应能力越强

最大不失真输出幅度  $V_{om}$  or  $I_{om}$  截止失真  $i_c$  的底  $V_{ce}$  的顶 ①静态工作点 ②输入幅度过大

$$\Delta V_{ce}^+ = I_{cm} \cdot R_L'$$

饱和失真  $i_c$  的顶端  $V_{ce}$  的底端 ①静态过大 ②输入幅度过大

$$\Delta V_{ce}^- = V_{ceQ} - 0.7V$$

### 1.3.3 放大电路的三种基本组态

$CE$ 、 $CC$ 、 $CB$

$CS$ 、 $CD$ 、 $CG$

### 1.3.4 基本放大电路的动态分析

$$CE \quad A_v = -\frac{\beta R_L}{r_{be}} \quad R_i = \frac{V_i}{I_i} = R_b \parallel r_{be} \quad R_o = R_o \parallel r_{ce} \approx R_o$$

$r_{ce}$  能抑制温漂，稳定静态工作点，允许  $B$  在一定范围内选择

为什么接旁路电容  $C_E$ ：①提高动态性能—增益，才会有放大作用。

$$CC \quad A_v = \frac{(1+\beta) R_L}{r_{be} + (1+\beta) R_L} \leq 1 \quad A_v \approx 1 \quad \text{射极跟随器} \quad R_i = R_b \parallel [r_{be} + (1+\beta) R_L] \quad ② R_o = R_o \parallel \frac{r_{be} + R_L \parallel R_s}{1+\beta}$$

$$CB \quad A_v = \frac{\beta R_L}{r_{be}} \quad R_i = R_e \parallel \frac{r_{be}}{1+\beta} \quad R_o \approx R_C \quad \text{电流跟随}$$

(波动、干扰都是交流通路解决的事情，不是非要有个小信号

$\frac{1}{R_2}$

$$CS \quad A_V = -g_m R_L \quad R_i = R_g + R_{g1} // R_{g2} \quad (x, \text{从滑得列的数多}) \quad R_o = R_d // r_{ds} \approx R_d \quad I_G = 0$$

$$CD \quad A_V = \frac{g_m R_i}{1 + g_m R_i} \approx 1 \quad R_i = R_g + R_{g1} // R_{g2} \quad R_o = R // \frac{1}{g_m}$$

$$CG \quad A_V = g_m R_i \quad R_i = R // \frac{1}{g_m} \quad R_o = R_d$$

	电压增益	输入电阻	输出电阻	特 点	用 途
共射 (CE)	反相， 电压增 益大	较大 (几千欧)	较大 ( $R_c$ )	既有 电压 放大 和 电 流放大 作 用	应用广 泛，中间 级
共集 (CC)	同相， 近似为 1	最大	最小	输入电阻 $\downarrow$ 阻抗变 高、输出电 阻低	阻抗变 换或电 流放大
共基 (CB)	同相， 电压增 益较大	最小 (几十欧)	较大 ( $R_c$ )	频率特性 好	宽频或 高频 放 大电路
共栅 (CG)					

### 1.3.5 恒流源电路及其应用

# 第4章 单管放大电路的频率特性

低频小信号模型锁定中频范围

耦合电容交流短路，结电容交流开路

## 1.4.1 频率响应概述

$$V_o = \sum_{k=1}^{\infty} V_{ik} |A_{vk}| \sin(\omega_{vk} t + \varphi_k)$$

增益不是常数一幅频失真      阻抗相移不相同一相频失真  
 线性失真，总环线性失真

饱和、截止由晶体管的非线性特性

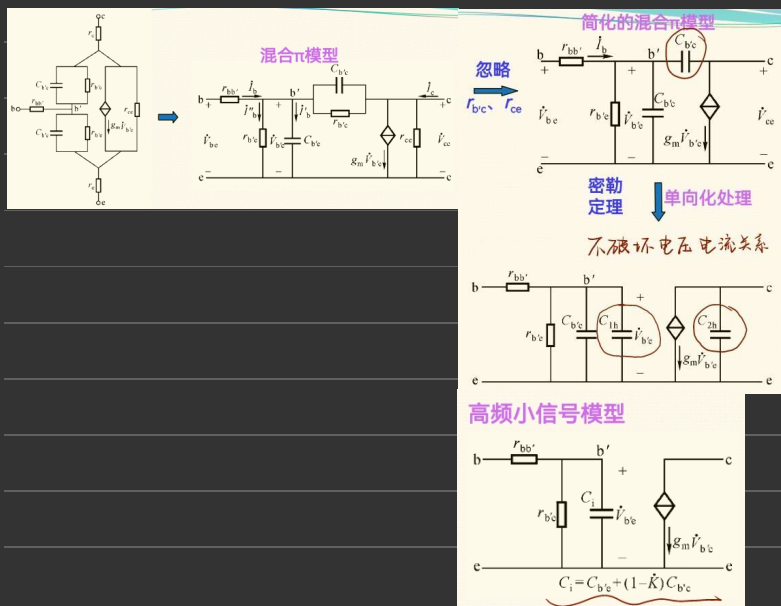
-阶RC低通(积分)   $A_{vI} = \frac{V_o}{V_i} = \frac{1}{1+j\frac{f}{f_n}}$   $f_n = \frac{1}{2\pi RC}$   $|A_{vI}| = \frac{1}{\sqrt{1+(\frac{f}{f_n})^2}}$   $20\log|A_{vI}| = -20\log\sqrt{1+(\frac{f}{f_n})^2}$

$\varphi = -\arctan(\frac{f}{f_n})$

-阶RC高通(微分)   $A_{vI} = \frac{j\frac{f}{f_n}}{1+j\frac{f}{f_n}}$   $f_n = \frac{1}{2\pi RC}$   $|A_{vI}| = \frac{(\frac{f}{f_n})}{\sqrt{1+(\frac{f}{f_n})^2}}$   $20\log|A_{vI}| = 20\log\frac{f}{f_n} - 20\log\sqrt{1+(\frac{f}{f_n})^2}$

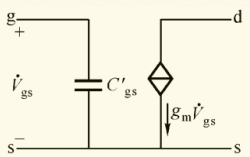
$\varphi = 90^\circ - \arctan(\frac{f}{f_n})$

## 1.4.2 三极管的高频小信号模型



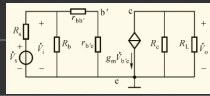
$$C_{gs} = C_{gs} + (1 - K)C_{gd}$$

$$K = \frac{V_{ds}}{V_{gs}} = -g_m R_L$$



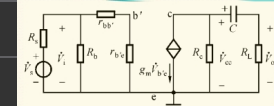
### 1.4.3 集成放大电路的频率响应

$$\text{中频 } A_{vsm} = \frac{R_o}{R_s + R_i} \cdot \frac{r_{be}}{r_{ce}} \cdot (-g_m R_L)$$

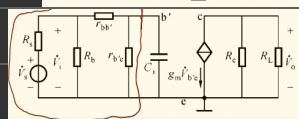


$$\text{低频 } A_{vsl} = A_{vsm} \cdot \frac{j\omega(R_c + R_L)C}{1 + j\omega(R_c + R_L)C} \cdot \frac{jf/f_L}{1 + jf/f_L}$$

$$f_L = \frac{1}{2\pi(R_c + R_L)C}$$



$$\text{高频 } A_{vsh} = A_{vsm} \cdot \frac{1}{1 + j\omega R_s C_1} = A_{vsm} \cdot \frac{1}{1 + jf/f_H} \quad f_H = \frac{1}{2\pi R_s C_1}$$



$$\text{全频段 } A_{vs} \approx A_{vsm} \cdot \frac{jf/f_L}{1 + jf/f_L} \cdot \frac{1}{1 + jf/f_H}$$

### 1.4.3 集成放大电路的瞬态响应

上限频率越高的放大电路具有更快的响应时间

下限频率越低，其瞬态响应中环阻尼就会越小

### 多级放大电路的频率响应

低频带折频率个数由放大电路中耦合电容的带宽决定；

高频、...、...、...、...、板间电容个数所决定，其数值取决于各电容回路的时间常数

说明：由于它是直耦，高增益的多级放大器，所以上限于极低，并环时通常为几十Hz。  $f_L = 0$

### 2.2.4 多级放大电路

级间耦合原理：①断开时各级完全静止 ②动态时信号传递有效传递

①直接耦合 ②变压器耦合 ③光电器耦合 ④光电耦合 抗干扰能力强。

多级的  $R_i$  就是第一级的  $R_i$ ，第一级为  $CC$ ，应考虑第二级的影响

多级的  $R_o$  就是末级的  $R_o$ ，末级为  $CL$ ，应考虑末前级的影响

为什么耦合电容  $C_1, C_2$  常取十几或几十  $\mu F$ , 而旁路电容  $C_o$  则取上百  $\mu F$ .

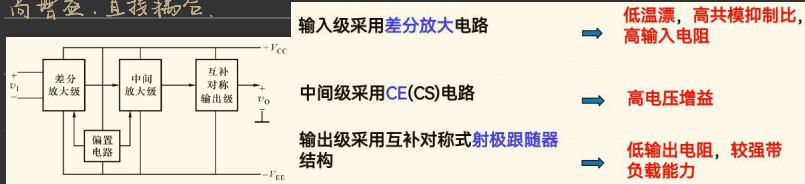
因为与  $C_1, C_2$  所在回路的等效电阻相比,  $C_o$  所在回路的等效电阻要小得多, 因此需大容值才能使它们产生的损耗在数量级上相当.

## 第二篇 模拟集成电路及其应用

### 第一章 集成运算放大器

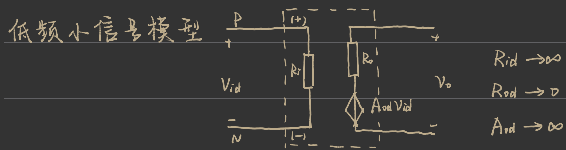
#### 2.1.1 集成运放的典型结构及特点

高增益, 直接耦合.



#### 二、集成运放的主要特点

- 同一硅片  
相同工艺  
→ 元件参数具有良好的一致性  
和同向偏差  
→ 采用结构对称为特征的电路
- 芯片面积小  
功耗很低  
→ 工作电流极小  
(如几~几十微安)  
→ 采用微电流源作为偏置及有源负载
- 无法制造大容量电容  
→ 采用直接耦合方式



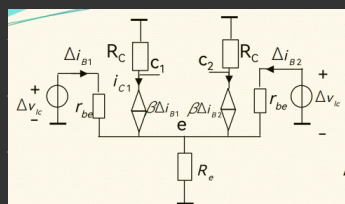
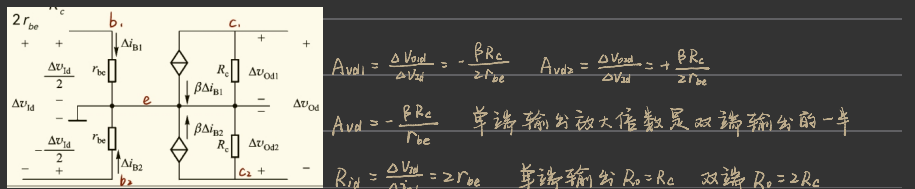
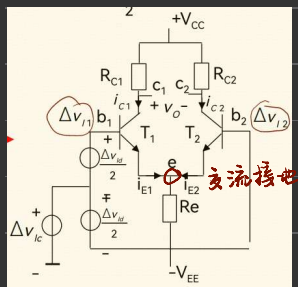
虚短  $V_{id} \approx 0$      $V_p = V_n$     虚断  $I_{id} \approx 0$

#### 2.1.2 运放输入级—差分放大电路 对差模信号进行放大, 对共模信号进行抑制

由于电路结构对称, 元件参数和特性相同, 因而温变时  $V_{in1}, V_{in2}$  始终相等,  $V_{in0}=0$ , 有效抑制温度漂移和零漂.

差模  $\Delta V_{id} = \Delta V_{i1} - \Delta V_{i2}$     共模  $\Delta V_{ic} = \frac{\Delta V_{i1} + \Delta V_{i2}}{2}$

输入  $\Delta V_{i1} = \Delta V_{ic} + \frac{\Delta V_{id}}{2}$      $\Delta V_{i2} = \Delta V_{ic} - \frac{\Delta V_{id}}{2}$



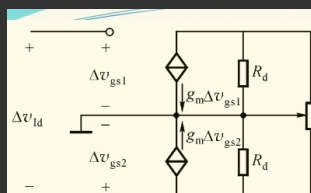
$$\text{共模抑制比 } K_{CMRR} = \left| \frac{A_{vd}}{A_{vc}} \right|$$

恒流源代替

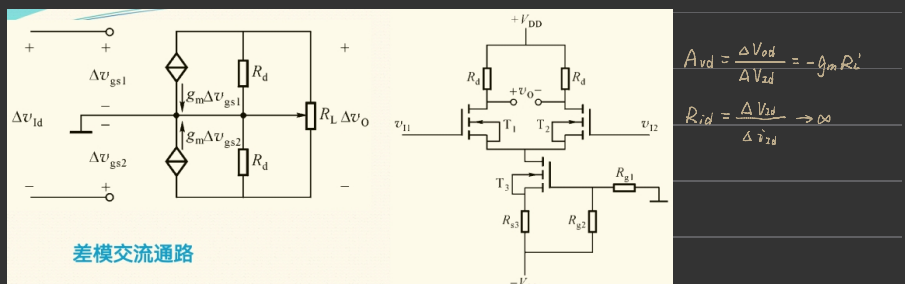
$$C. \text{ 车输出时 } K_{CMRR} = \left| \frac{A_{vd}}{A_{o2d}} \right| = \frac{r_{be} + 2(HB)R_e}{r_{be}}$$

$R_e \uparrow, K_{CMRR} \uparrow$

$$\Delta V_o = A_{vd} \Delta V_{id} + A_{vc} \Delta V_{ic}$$

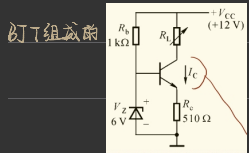


差模交流通路

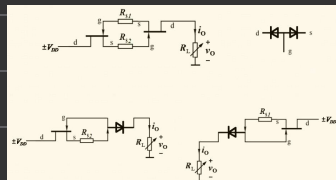


### 1.3.5 恒流源电路及其应用

设计目标：①工作于线性区 ②增大输出电流

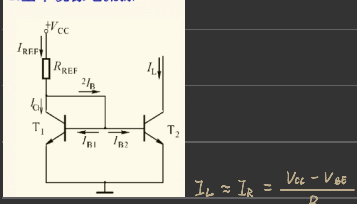


FE-T组成的恒流源



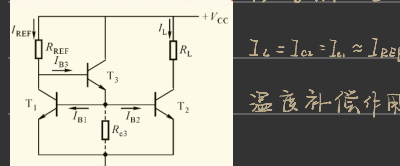
恒流源可以用于直流通路、有源负载、恒流充放电

#### 1. 基本镜像电流源



$$I_L \approx I_R = \frac{V_{ce} - V_{BE}}{R}$$

#### 2. 跟随型镜像电流源电路



$T_3$ :  $\downarrow$  输出电流与参考电流的误差

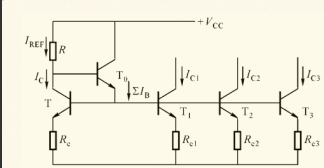
$$I_L = I_{c2} = I_o \approx I_{REF} = \frac{V_{cc} - 2V_{BE}}{R_{REF}} \approx \frac{V_{oc}}{R_{REF}}$$

丁个伏安特性曲线整体上移

间隔Δ

温度补偿作用

#### 3. 多路电流源电路



$I_{REF}$  确定后，各支路串入不同射极电阻，可得不同的输出电流

接入  $R_e$ ,  $R_o \uparrow$

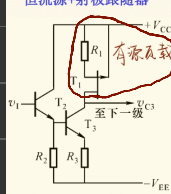
## 运放中间级——电压放大电路 宽度: $\uparrow A_v$

$$A_v = -\frac{\beta(R_o \parallel R_L)}{R_{be}}$$

①  $R_o$  用恒流源

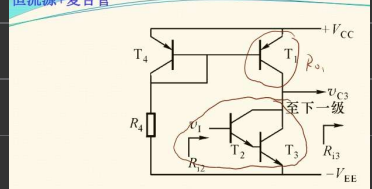
② 纵向三极管加达林顿复合管,  $\uparrow \beta$  ③ 增加  $-CC$  (射极输出器)  
进一步降低失真

恒流源+射极跟随器



$$R_{o1} \approx (1 + g_m R_1) R_{be} + R_1$$

恒流源+复合管

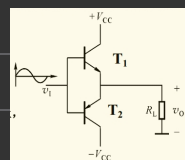


$$A_v = -\frac{\beta_2 \beta_3 (R_{o1} \parallel R_{be2} \parallel R_{be3})}{R_{be4}}$$

$$R_{o1} = R_{be2} + (1 + \beta_2) R_{be3}$$

## 运放输出级——互补对称共集输出电路 DCL

要求: ①  $R_o$  小 ②  $V_{om}$  不可能大 ③  $R_i$  大



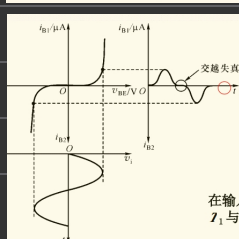
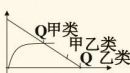
最大输出电压幅值  $V_{cc} - V_{ces}$  不会超过电源电压

$$R_i = R_{be} + (1 + \beta) R_L$$

管子属于乙类放大: 导通角为  $0=\pi$ , 三极管半周导通 效率高, 但有失真

甲类放大: 导通角为  $0=2\pi$ , 前面讨论的单管放大电路

甲乙类放大: 导通角介于  $\pi$  和  $2\pi$  之间



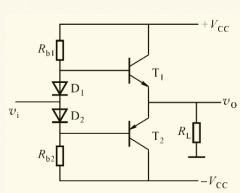
交越失真 乙类不可忽视

在输入

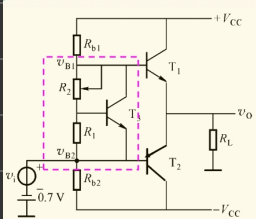
$I_1$  与

## 2. 甲乙类互补对称输出电路

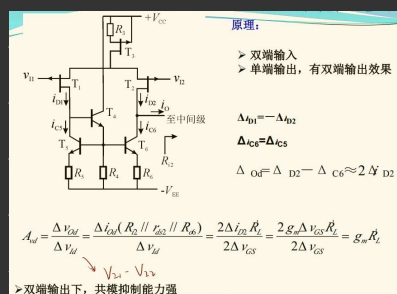
利用二极管提供静态偏置



## 利用恒压电路提供静态偏置 (P181)



## 2.1.5 典型运放内部电路分析



## 2.1.6 集成运放的主要性能指标

实际运放：传输特性曲线不通过坐标原点，称为输出失调。为弥补，设置调整端

$$\text{开环差模电压放大倍数 } A_{vd} = \frac{\Delta v_o}{\Delta v_p - \Delta v_n} \quad \text{差模输入电阻 } R_{id} = \frac{\Delta v_M}{\Delta i_{vd}}$$

$$\text{输入失调电压 } V_{zo} = -\frac{V_{oo}}{A_{vd}} \rightarrow \text{输出失调电压}$$

反向补偿电压

输入失调电压漂移  $\frac{dV_{zo}}{dT}$  随温度变化程度

输入失调电流  $I_{zo}$  反映输入端输入电流的不平衡程度

$$\downarrow |I_{Bp} - I_{Bn}| \quad I_{zB} = \frac{I_{Bp} + I_{Bn}}{2} \text{ 偏置电流}$$

输入失调电流温漂  $dI_{zo}/dT$

输入平衡电阻相等且小.

集电极或运放用作线性放大时必须接成闭环.

最大共模输入电压  $V_{icmax}$  失去正常的差模放大能力

$$\text{共模输入电阻 } R_{ic} = \frac{\Delta V_{ic}}{\Delta I_{ic}}$$

单位增益带宽  $f_c = A_{ad} \cdot f_H$   $A_{ad}$  下降至  $0 \text{ dB}$  时  $f_c$ .

$$\text{转换速率 SR(压摆率)} = \left| \frac{dV_o}{dt} \right|_{\max} \text{ 过零点}$$

全带宽带宽  $f_p$  不产生因 SR 的失真, 最高工作.

## 第二章 负反馈放大电路

### 2.2.1 反馈的基本概念与增益函数

放大器和反馈网络组成一个闭环系统, 称为反馈放大器

①输出取样量

②与输入信号比较求和

判断一个放大电路是否存在反馈,

➤ 检查净输入回路与输出回路之间是否存在反馈网络。

净输入回路

双极型管放大级中, 净输入回路为三极管的 b-e 之间;

差分放大级的净输入回路为两个三极管的基极之间;

运放的净输入回路为同相与反相输入端之间

➤ 反馈量是否影响了输入量

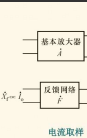
$$A_f = \frac{A}{1+AF} \quad AF \text{ 是回路增益} \quad 1+AF \text{ 是反馈深度}$$

$$\text{深度负反馈 } A_f \approx \frac{1}{F}$$

净输入量减小就是负反馈.

## 2.2.2 反馈的分类

取样电路的二种型式



比较求和的二种形式



运放一串级反馈 一输入量和反馈量放在不同节点上 并联一同一点

平衡电位，减小失调 两个片子等效对地电阻相等时，会减小失调电流引起的失调电压

【虚地】将两个片子连成运放，正的进去负的出来是反相端

## 2.2.4 负反馈对放大器性能的影响

① 闭环增益稳定性  $\frac{dA_f}{A_f} = \frac{dA}{A} \frac{1}{1+AF}$  深度越深越稳定

② 改善放大电路非线性

③ 抑制放大电路内部的温漂、噪声及干扰 减小为原来的  $\frac{1}{1+AF}$  噪声从输入信号来源没用

④ 扩展通频带 闭环时中频增益  $\frac{A_m}{1+A_m F}$  上限频率  $f_H = (1+A_m F) f_n$  下限  $f_L = \frac{f_n}{1+A_m F}$

增益带宽的积分近似由常数

⑤ 对输出电阻影响 电压负反馈  $R_{of} = \frac{1}{1+AF} R_o$  深度  $R_{of} = \infty$  (从取样点看入)

电流负反馈  $R_{of} = (1+AF) R_o$  深度  $R_{of} = \infty$  ( )

⑥ 对  $R_i$  影响  $R_{if} = \frac{R_i}{1+AF}$  深度  $R_{if} = \infty$  (求和点看入)

串联  $R_{if} = (1+AF) R_i$  深度  $R_{if} = \infty$  ( )

## 2.2.5 由分立元件构成的负反馈放大电路

## 2.2.6 负反馈放大电路的稳定性分析

起振条件  $|AF| > 1$

产生自激振荡的条件  $AF = -1 \quad \left\{ \begin{array}{l} |AF| = 1 \\ \Delta\varphi_{AF} = \Delta\varphi_A + \Delta\varphi_F = \pm(2n+1)\pi \end{array} \right.$

幅值平衡条件

$$\Delta\varphi_{AF} = \Delta\varphi_A + \Delta\varphi_F = \pm(2n+1)\pi \quad \text{相位}$$

负反馈放大电路稳定工作(不产生自激)的稳定性判据是：①  $|AF| < 1$ ,  $|\Delta\varphi_A + \Delta\varphi_F| < 180^\circ$

$$\text{② } \Delta\varphi_A + \Delta\varphi_F = \pm 180^\circ, |AF| < 1$$

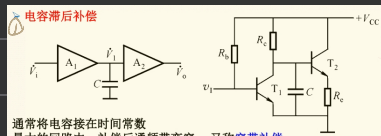
$\Delta\varphi_A + \Delta\varphi_F = \pm 180^\circ$  时对应的环路增益为增益裕度  $G_m = 20\lg|AF|$

$20\lg|AF|=0$  时对应频率为  $f_a$ , 相位裕度  $\varphi_m = 180^\circ - |\varphi(f_a)|$

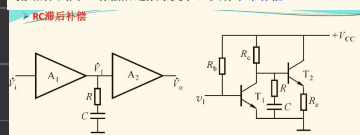
工程上要求  $G_m \leq -10dB$ ,  $\varphi_m \geq 45^\circ$

纯电阻不产生附加相移。

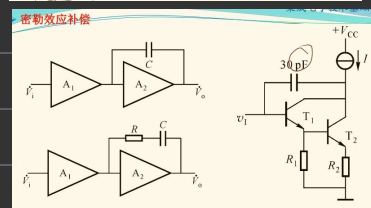
消除自激振荡的方法



通常将电容接在时间常数最大的回路中。补偿后通频带变窄，又称窄带补偿。



通常将RC网络接在时间常数最大的回路中。补偿后的频带比电容补偿时损失小一些。

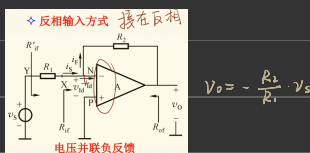


将补偿电容或RC补偿网络跨接在电路中，利用密勒效应可以达到增大电容的作用，因此补偿电容可以较小。

### 第三章 集成运放组成的典型应用电路

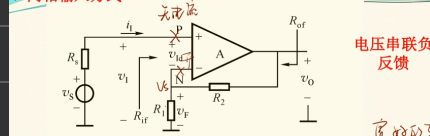
#### 输出放大反相—负反馈

比例运算



$$v_o = -\frac{R_2}{R_1} \cdot v_s$$

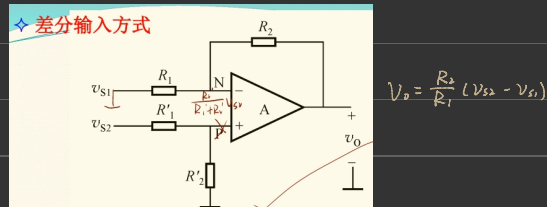
同相输入方式



$$v_o = (1 + \frac{R_2}{R_1}) v_s$$

原始的  $v_o$  为  $\frac{1}{2} v_s$ ,  $v_o = v_s$ , 增益跟随器 宽带转换性能

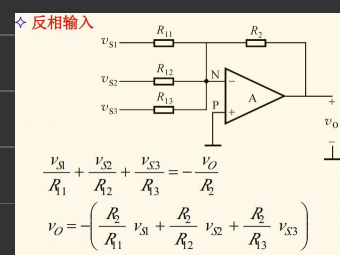
差分输入方式



$$v_o = \frac{R_2}{R_1} (v_{S2} - v_{S1})$$

求和运算

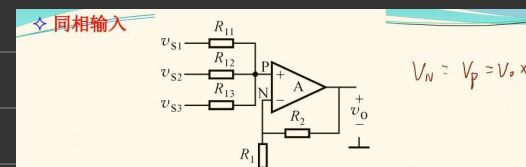
反相输入



$$\frac{v_{S1}}{R_{11}} + \frac{v_{S2}}{R_{12}} + \frac{v_{S3}}{R_{13}} = -\frac{v_o}{R_2}$$

$$v_o = -\left( \frac{R_2}{R_{11}} v_{S1} + \frac{R_2}{R_{12}} v_{S2} + \frac{R_2}{R_{13}} v_{S3} \right)$$

同相输入



$$V_N = V_P = v_s \times N$$

$$V_P = \frac{R_{12} // R_{13}}{R_{11} + R_{12} // R_{13}} v_{S1} + \frac{R_{11} // R_{13}}{R_{12} + R_{11} // R_{13}} v_{S2} + \frac{R_{11} // R_{12}}{R_{13} + R_{11} // R_{12}} v_{S3}$$

$$= (R_{11} // R_{12} // R_{13}) \left( \frac{v_{S1}}{R_{11}} + \frac{v_{S2}}{R_{12}} + \frac{v_{S3}}{R_{13}} \right)$$

$$v_o = (1 + \frac{R_2}{R_1}) v_N = (1 + \frac{R_2}{R_1}) (R_{11} // R_{12} // R_{13}) \left( \frac{v_{S1}}{R_{11}} + \frac{v_{S2}}{R_{12}} + \frac{v_{S3}}{R_{13}} \right)$$

### ◆ 双端输入

$v_{\text{S}} = v_{\text{A}} = 0$  时:

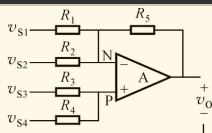
$$v_O = -\frac{R_2}{R_1} v_{S1} - \frac{R_2}{R_2} v_{S2}$$

$v_{\text{d}} = v_{\text{g}} = 0$  时:

$$v_P = \frac{R_4}{R_3 + R_4} v_{S3} + \frac{R_3}{R_3 + R_4} v_{S4}$$

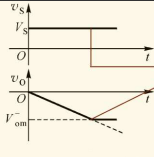
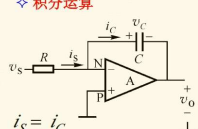
$$v_O = (1 + \frac{R_1}{R_1 // R_2})(\frac{R_4}{R_3 + R_4} v_{S3} + \frac{R_3}{R_3 + R_4} v_{S4})$$

$$v_O = -\frac{R_2}{R_1} v_{S1} - \frac{R_2}{R_2} v_{S2} + (1 + \frac{R_1}{R_1 // R_2})(\frac{R_4}{R_3 + R_4} v_{S3} + \frac{R_3}{R_3 + R_4} v_{S4})$$



### 积分和微分运算

#### 积分运算



若输入阶跃信号，则

$$v_C = \frac{1}{C} \int_0^t i_S dt + v_C(0)$$

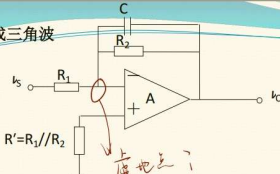
设  $v_C(0)=0$

$$v_O = -v_C = -\frac{1}{RC} \int_0^t v_S dt$$

$$v_O = -\frac{V_S}{RC} t$$

#### 方波转换成三角波

#### 集成电子技术基础



$$-\frac{i_S}{R_1} = \frac{i_O}{R_2} + C \frac{dv_O}{dt}$$

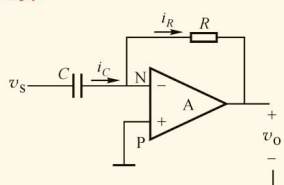
$$v_O = -\frac{R_2}{R_1} v_3 (1 - e^{-t/\tau_2})$$

$$= -\frac{R_2}{R_1} v_3 (1 - e^{-t/\tau_2})$$

$$t \ll \tau_2 \quad 1 - e^{-t/\tau_2} \approx \frac{t}{\tau_2}$$

$$v_O = -\frac{v_3}{R_1 C} t$$

### ◆ 微分运算

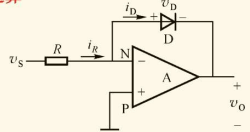


$$i_R = i_C = C \frac{dv_S}{dt}$$

$$v_O = -i_R \cdot R = -RC \frac{dv_S}{dt}$$

## 对数和指数运算

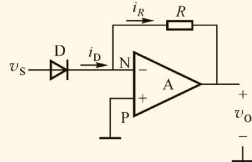
### 对数运算



$$i_D = I_S (e^{\frac{v_D}{V_T}} - 1) \approx I_S e^{\frac{v_D}{V_T}} \quad i_R = \frac{v_S}{R} = i_D = I_S e^{\frac{v_D}{V_T}}$$

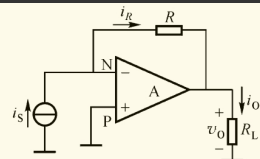
$$v_O = -v_D = -V_T \ln \frac{v_S}{R \cdot I_S}$$

### 指数运算



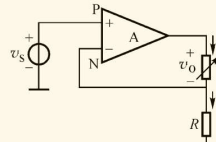
$$v_O = -i_R \cdot R = -i_D \cdot R = -I_S R \cdot e^{v_S / V_T}$$

## 电流电压变换电路



$$v_O = -i_S \cdot R \quad \text{与负载 } R_L \text{ 无关。}$$

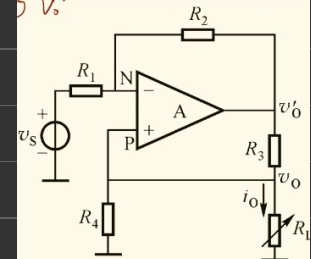
### 负载不接地



$$i_O = i_R = \frac{v_S}{R}$$

$$i_O = \frac{1}{R} v_S \quad \text{与负载 } R_L \text{ 无关。}$$

### $v_o'$

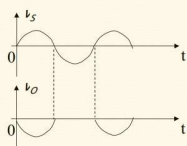
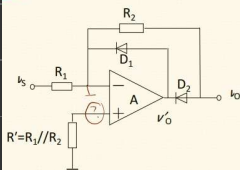


应用虚短  $v_P = v_P'$

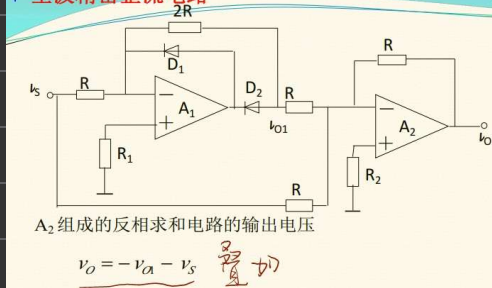
$$R_2 / R_1 = R_4 / R_3 \text{ 时, } i_O = -\frac{1}{R_4} v_S$$

### ◆ 半波精密整流电路

精密整流电路



### ◆ 全波精密整流电路



### 2.3.3 有源滤波器

LPF, HPF, BPF, BEF  
通 阻

### 2.3.4 电压比较器

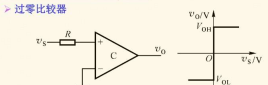


虚短不能用

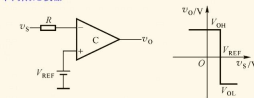
开环或正反馈状态，非线性应用

基本要求：动作迅速，反应灵敏，判断准确，抗干扰能力强。

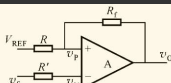
#### ① 一、单限比较器



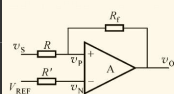
#### ➤ 单门限比较器



输入比较电压接反相端, 参考电压在同相端, 输出与输入构成正反馈。



## ②滞回比较器



输入比较电压接同相端, 参考电压在反相端, 输出与输入构成正反馈。

## 反相滞回比较器

比较原理, 通过分析

$$v_N = v_S$$

$$v_P = \frac{R}{R + R_j} v_O + \frac{R_j}{R_j + R} V_{REF}$$

{ 当  $v_0 = I_{OH}$  时,  $v_p = I_{TH}$ , 称为上触发电平

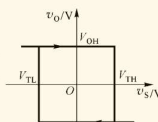
{ 当  $v_0 = I_{OL}$  时,  $v_p = I_{TL}$ , 称为下触发电平

$I_{TH}$  和  $I_{TL}$  是比较器输出电平翻转的两个阈值电平。

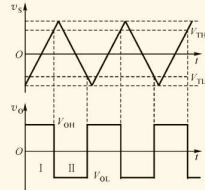
$$v_N = v_S$$

$$v_P = \frac{R}{R + R_j} v_O + \frac{R_j}{R_j + R} V_{REF}$$

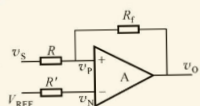
输入和输出之间的关系用电压传输特性表示



由于其特性如同迟滞回线, 故称迟滞比较器 (或施密特触发器)

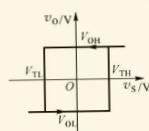


## 同相滞回比较器



$$\left\{ \begin{array}{l} v_N = V_{REF} \\ v_P = \frac{R}{R + R_j} v_O + \frac{R_j}{R_j + R} v_S \end{array} \right.$$

$$v_S = \frac{R + R_j}{R_j} V_{REF} - \frac{R}{R_j} v_O$$

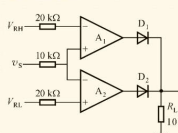


{ 当  $v_0 = I_{OH}$  时,  $v_S = I_{TH}$ , 上触发电平  
{ 当  $v_0 = I_{OL}$  时,  $v_S = I_{TL}$ , 下触发电平

回差电压  $\Delta V = V_{TH} - V_{TL}$  越大, 越不易误触发, 抗干扰能力越强

## ③窗口比较器和三态比较器

### 窗口比较器



当  $v_S > I_{RH}$  时,

$$v_{O1} = I_{OH},$$

$$v_{O2} = I_{OL},$$

$$v_O = I_{OH};$$

当  $v_S < I_{RL}$  时,

$$v_{O1} = I_{OL},$$

$$v_{O2} = I_{OH},$$

$$v_O = I_{OL};$$

当  $I_{RL} < v_S < I_{RH}$  时,

$$v_{O1} = I_{OL},$$

$$v_{O2} = I_{OL},$$

$$v_O = 0;$$



### 三态比较器

$v_S > V_{RL}$  时

$$v_A = v_{O2} = V_{OL}$$

$D_2$  导通,  $D_1$  截止

$$v_O = V_{OL} - \sqrt{2}$$

$v_S > V_{RL}$  时

$$v_A = v_{O2} = V_{OH}$$

$D_2$  截止,  $D_1$  导通

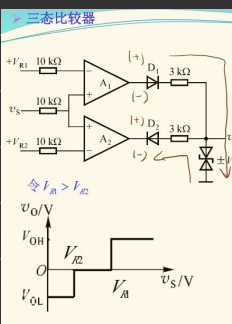
$$v_O = V_{OH} + \sqrt{2}$$

$V_{RL} < v_S < V_{RH}$  时

$$v_{O1} = V_{OL}, v_{O2} = V_{OH}$$

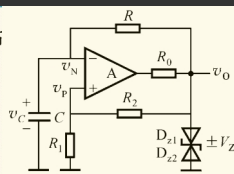
$D_2$  截止,  $D_1$  截止

$$v_O = 0$$



## 2.4.5 非正弦波发生器

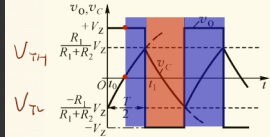
为高



$$V_o(t) = V_o(\infty) + [V_o(0^+) - V_o(\infty)] e^{-t/\tau} \quad \text{利用三要素法求解.}$$

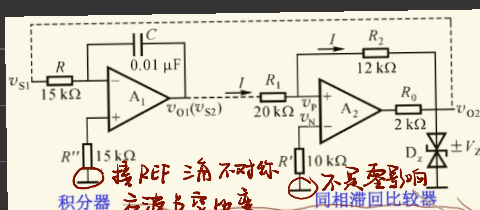
$$T = 2RC \ln(1 + 2\frac{R_1}{R_2})$$

线性不稳



恒压充放电

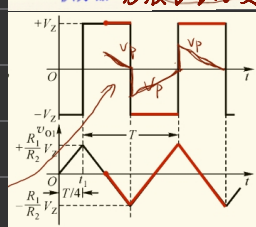
改进



恒流充放电

$$V_p = V_{o1} \times \frac{R_2}{R_1+R_2} + V_{o2} \times \frac{R_1}{R_1+R_2}$$

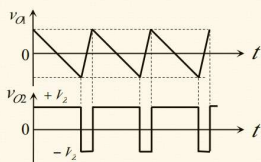
积分器 反相与同相



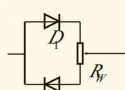
$$\text{三角波 } V_{om1} = \frac{R_1}{R_2} V_Z \quad V_{om1} = -\frac{1}{RC} \int_0^T (-V_Z) dt = \frac{V_Z}{RC} \frac{T}{4} \quad T = 4RC \frac{R_1}{R_2}$$

管压降决定波幅.

### 改进电路（锯齿波发生电路）



这只要将积分器的正向和负向积分回路分开，并能调节正负方向积分的时间常数即可。



# 第四章 信号发生器

## 2.4.1 产生正弦振荡的条件

正弦振荡电路，产生稳定振荡的条件： $|AF|=1$   $f$ -宽，幅值稳定 通带内正反馈

负反馈产生自激的条件： $|AF|=-1$  强调负 $\rightarrow$ 正

产生振荡条件： $|AF|^2 > 1$ ,  $\varphi_{AF} = \varphi_A + \varphi_F = \pm 2n\pi$

稳定振荡条件： $|AF|=1$ ,  $\varphi_{AF} = \varphi_A + \varphi_F = \pm 2n\pi$

待解决问题 ① 唯一  $f$  ② 输出无非线性失真

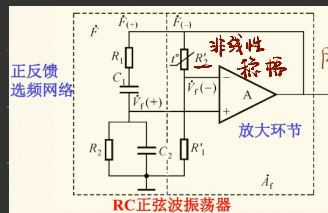
$\downarrow$   
选频网络

$\downarrow$   
稳幅环节

正弦波振荡电路包括：放大环节，正反馈网络，选频网络，稳幅环节

零度相移，表现为电阻

## 2.4.2 RC正弦波振荡器(1MHz以下)



$$A_V = 1 + \frac{R_f}{R_i}$$

当 $\omega = \omega_0 = 1/RC$ 时  $\hat{F}_{(+)} = 1/3$ ,  $\varphi_F = 0^\circ$ , 满足自激振荡的相位条件。所以只有在此时才能产生单一频率的振荡。

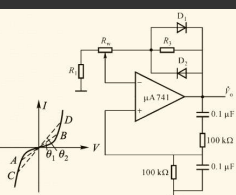
当 $\omega = \omega_0$ 时, 正反馈最强,  $|F_{(+)}| = 1/3$  而  $|AF| > 1$  所以只有当放大环节  $A_f \geq 3$  时才能满足振荡的幅度条件。

- 热敏电阻
- 场效应管

$$\text{起振时 } A_f = \frac{R_1 + R_2}{R_1} = 1 + \frac{R_2}{R_1} > 3$$

当输出幅度增大时

$\Rightarrow$  流过二极管的电流增大  $\Rightarrow$  二极管的等效电阻减小  $\Rightarrow$  使  $A_f$  减小, 进入稳定振荡。

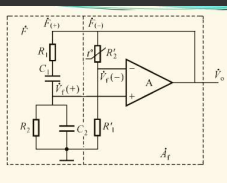


### 热敏电阻

$R_1$  采用正温度系数的热敏电阻

$R_2$  采用负温度系数的热敏电阻

$$A_f = \frac{R_1 + R_2}{R_1} = 1 + \frac{R_2}{R_1}$$



$R$ ,  $C$  均不能取得太小, 常用作低频信号源

判断 ①正反馈： ②大于3的增益(共集不行) ③静态工作点(隔直电容要不要)

## 2.4.3 LC正弦振荡器 (几百千Hz以上，常用作高频信号源)

选频网络是LC谐振回路

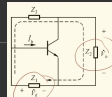
要求放大环节具有较高上限于(使在通带内)

品质因数  $Q = \sqrt{\frac{L}{R}}$  ( $\downarrow$ , 选频特性 $\uparrow$ )

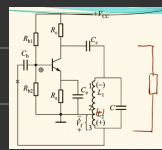
### ①变压器反馈式LC正弦振荡器

谐振电容不短接( $\text{印P}$ )，直流偏置处于放大态是振荡器的基础  
 $\rightarrow$ 所有C开路)

### ②三点式LC正弦振荡器



### 电感三点式(Hartley 振荡器)



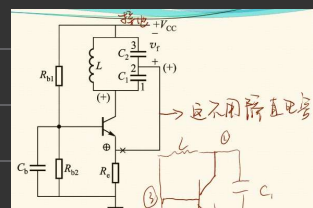
表现出米勒电阻

容易起振，但波形不太好

中间抽头接地，首尾极性相反；

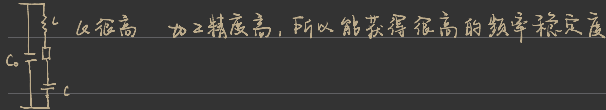
取一端接地，另一端和中间抽头极性相同。

### 电容三点式(Colpitts 振荡器)



波形较好(C<sub>3</sub>源去高次谐波)，但不易起振。

## 2.4.4 石英晶体振荡器



并联式 频率在  $f_1$  与  $f_2$  之间，使晶体呈感性

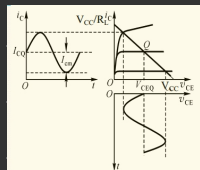
串联式 接在正反馈支路中， $f = f_s = \frac{1}{2\pi\sqrt{LC}}$

开环，直接没有用？

## 第五章 功率变换电路

### 2.5.1 功率放大电路的特点和基本类型

#### ① 甲类单管功率放大级



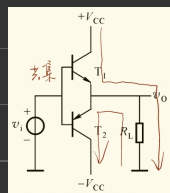
$$V_{CEQ} \approx \frac{V_{CC}}{2}$$

理想效率 25% 低！

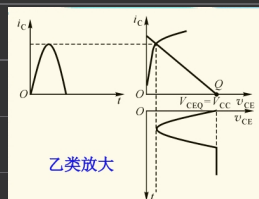
$$\theta = 360^\circ$$

#### ② 乙类功率放大

双电源供电的互补对称功放 OCL

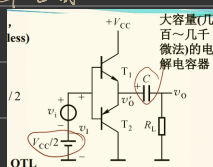


$$\theta = 180^\circ$$



乙类放大

#### 单电源



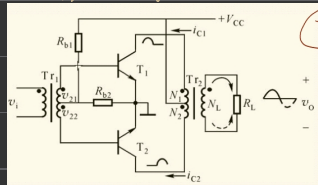
/2

$V_{CC}/2$

$v_o$

$+V_{CC}$

## 变压器耦合推挽式



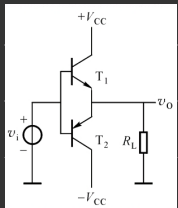
T<sub>1</sub>, T<sub>2</sub> 同极型对称推挽管

R<sub>b1</sub>, R<sub>b2</sub> 提供静态偏置，克服交越失真

优点：① 改变变压器的匝比，能找到最佳等效负载 (P<sub>max</sub>)。且不  
失真。

② 不提高电源电压，使 V<sub>om</sub> > 电源电压。

## 2.5.2 功放的分析计算

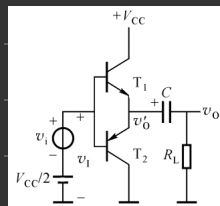


$$\text{输出功率 } P_o = \frac{V_{om}^2}{2R_L}$$

$$\text{输出效率 } \eta = \frac{2V_{cc}V_{om}}{\pi R_L} \quad \eta = \frac{P_o}{P_E} = \frac{\pi}{4} \frac{V_{om}}{V_{cc}}$$

$$\text{最大 } P_o \quad P_{om} \approx \frac{V_{cc}^2}{2R_L} \quad \eta_{max} = \frac{P_o}{P_E} = \frac{3}{4} \approx 78.5\%$$

$$\text{管耗 } P_T = P_E - P_o \quad \text{最大管耗 } P_{TM} = \frac{4}{\pi^2} P_{om} \approx 0.4 P_{om} \quad \text{每个管 } P_{T1M} = P_{T2M} \approx 0.2 P_{om}$$

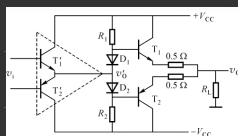


$$P_o = \frac{V_{om}^2}{2R_L} \quad P_E = \frac{V_{cc}V_{om}}{\pi R_L}$$

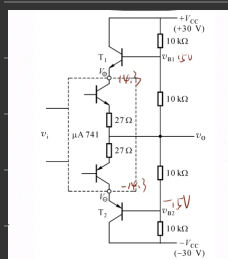
$$\eta = \frac{\pi}{2} \frac{V_{om}}{V_{cc}}$$

$$V_{om} \approx \frac{V_{cc}}{2} \quad P_{om} = \frac{V_{cc}^2}{8R_L} \quad \eta \approx 78.5\%$$

## 2.5.3 集成功率放大器



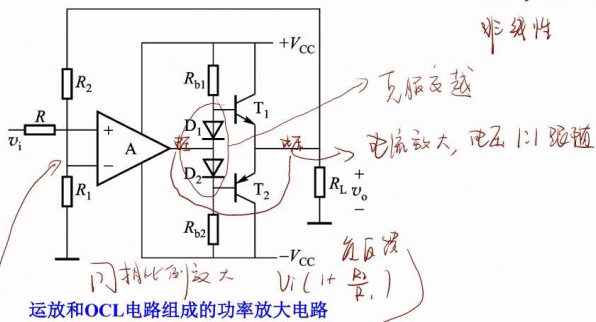
集成运放扩流电路



经扩压后的输出电压可达±24V以上。

实际的功率放大电路通常由电压放大级和功率放大级组成，并引入负反馈以改善各方面的性能。

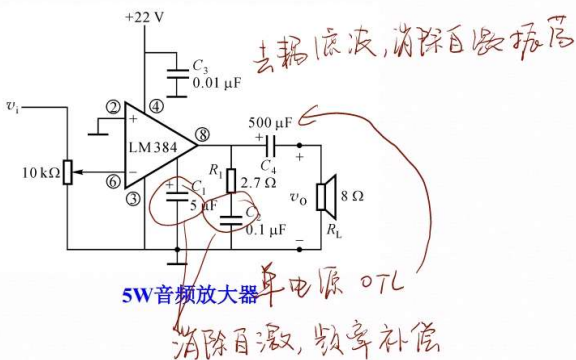
改善放大电路内部  
非线性

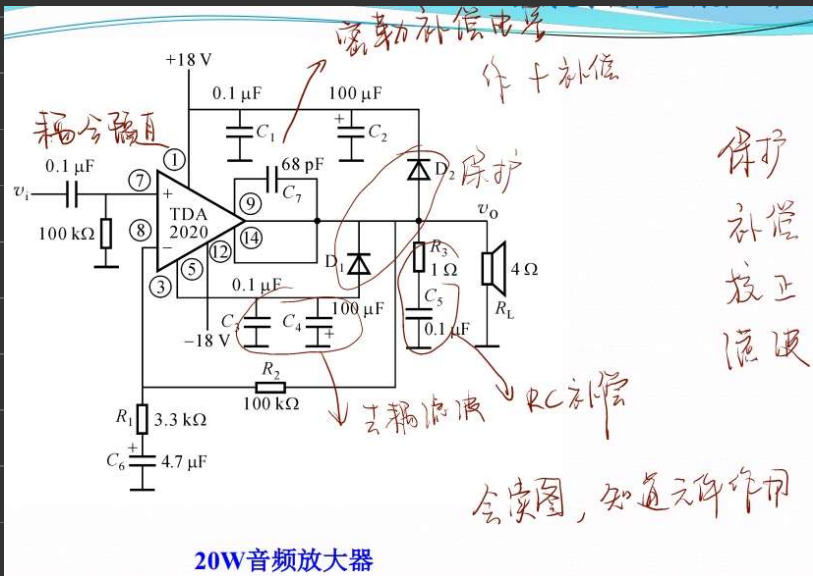


首选同相比例放大，建压串联负反馈

电压串联型交、直流负反馈的引入既可稳定静态时的输出零电位，又可稳定动态时的闭环增益和改善非线性失真，并提高输入电阻，减小输出电阻。

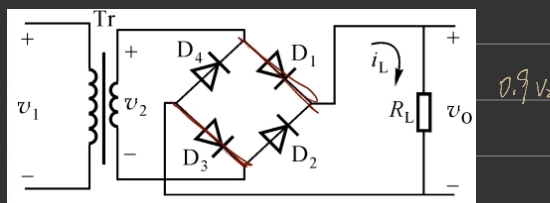
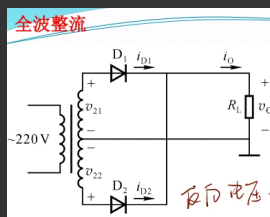
一般通用型集成运放的输出功率是很小的，如μA741的输出功率仅为100mW左右。在需要较大功率场合，可选用集成功率放大器。



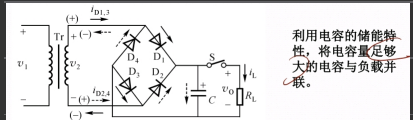


## 2.5.4 整流、滤波、稳压电路

### 整流



## 滤波



利用电容的储能特性，将电容量足够大的电容与负载并联。

$S$ 断开时， $V_C = \sqrt{2}V_S$

$S$ 合上时，

$$V_{D(AV)} = 1.2 V_2$$

为确保二极管安全工作： $V_R = \sqrt{2}V_S < V_{PM}$  (二极管允许反向电压)

$$I_{D(AV)} = \frac{V_{D(AV)}}{2R_L} < I_F \quad (= \text{二极管最大整流电流})$$

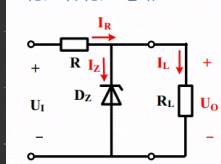
## 稳压

▲ 有2个管分流

$$\Delta V_o = \frac{\partial V_o}{\partial V_2} \Delta V_2 + \frac{\partial V_o}{\partial I_L} \Delta I_L = S_r \Delta V_2 + R_o \Delta I_L$$

稳定系数      内阻。越小越好

### ▶ 稳压管稳压电路



需扩流 电流放大一汇集 (电压跟随)

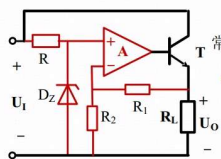
需调压 同相比例运算放大电路  $U_o = U_{REF}(1 + \frac{R_o}{R_L})$

串联电压负反馈

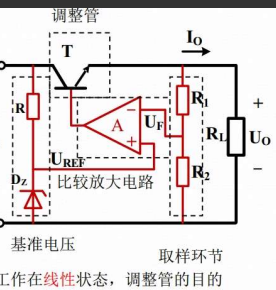
↓

## 线性串联型稳压电路

### 组成



常见画法



调整管T与负载相串联构成主回路，且T工作在线性状态，调整管的目的是稳压——线性串联型稳压电路。

最大输出电压不能高于  $U_1 - U_{ZES}$

调整管损耗大，效率不高。

$$I_{cm} > I_{L(max)} + I' \quad P_{cm} > [V_{L(max)} - V_{cm(min)}] [I_{L(max)} + I'] \quad V_{BR(CE)} > V_{L(max)} - V_{cm(min)}$$